

京都大学 大学院 学生員 山本 久五  
 京都大学 防災研究所 正員 村本 嘉雄

はしがき

河川模型に適用する人工粗度については従来より主に抵抗特性の面から検討がなされていり。本研究では、椀型粗度を対象として縦分散に及ぼす影響を実験的に検討するとともに、粗度係数および分散係数に関する相似律から河川模型への通用性について若干の考察を行う。

1. 実験の概要 : 実験には、長さ150m、幅60cm、勾配1/500の長方形断面水路を用い、人工粗度として高さ $k=2\text{cm}$ 、厚さ3mmの等辺山型鋼と粗度間隔 $S=10, 20, 40, 80, 160\text{cm}$ の5段階に変えて全長に設置した。滑面および粗面の各ケースについて、流量 $Q=8, 13, 18, 22\text{ l/s}$ の4段階に変化させ、流速ならびに塩水の縦分散測定を行った。流速分布は粗度上と中間の3断面で精測し、濃度測定は塩水投入点(水路の上流端より10m)から5~130mの12断面について水路中央の水深中央で行い、粗面の若干のケースについては水路断面内の多点測定との比較を行った。

2. 人工粗度の抵抗と流速分布 :  $h$ が $k$ の粗度間隔の場合も、平均流速および流速の鉛直分布に関してほぼ対数則がなりたち、 $U_{1/2k} = 6.0 + 2.5 \ln^2 k_s$  (1),  $U_{1/2k} = 6.0 + 2.5 \ln^2 R k_s$  (2) ( $h$ : 水深,  $R$ : 底面に関する径深) から求めた相対粗度高 $k_s/k$ と粗度間隔 $S/k$ との関係を示すと図-1のようになる。図-1は足立による実験式および $k=2.5\text{cm}$ の山型鋼を用いたEl-Hadi-Davarの実験結果<sup>2)</sup>を示してある。 $k_s/k$ の値はそれぞれの実験で異なるが $S/k=10$ 付近で最大となる点は共通している。一方、縦分散係数と推定する場合に用いられる流速分布の偏差の二乗平均値と平均流速との比 $\sqrt{\sigma^2}/U$ の $S/k$ による変化を図-2に示しており、 $S/k=40$ では $\sqrt{\sigma^2}/U$ が0.3~0.4に増加することがわかる。

3. 濃度分布 : 規格化した塩分濃度 $f(x; x)$ の累加分布について、滑面および粗面の一例を示すと図-3(a)(b)のようになって滑面では濃度の低減部で尾を引き、粗面ではGauss分布に近い。表-1に $Q=22\text{ l/s}$ で $x=80\text{m}$ における $f$ の尖度と歪度の $S/k$ による変化が示してある。 $S/k=10$ の場合に最もGauss分布に近く、滑面に近づくほど濃度分布が歪んでいくのがわかる。また、 $\sigma^2$ の濃度の低減特性は図-4に示すように滑面では $f \propto x^{-0.72}$ に対して、粗面では粗度間隔が小さいほど $f \propto x^{-0.5}$ の関係に近い。

s/k	Flatness	Skewness
5	3.49	0.531
10	3.01	0.222
20	3.48	0.384
40	3.52	0.568
80	5.21	0.965

表-1. 尖度と歪度

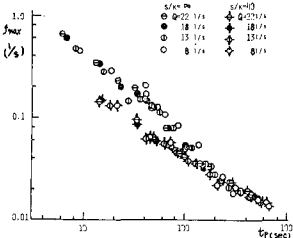


図-4.  $f_{max}$ と $x$ の関係

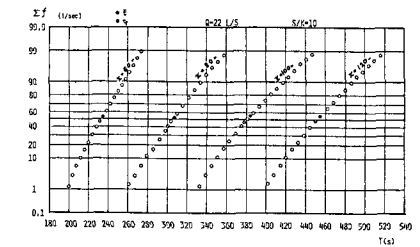


図-3(a) 塩分濃度の累加分布(滑面)

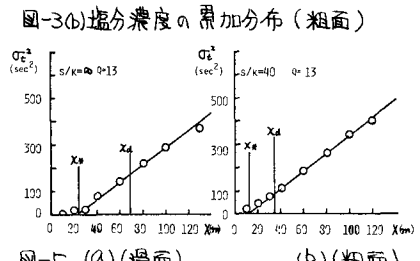


図-3(b) 塩分濃度の累加分布(粗面)

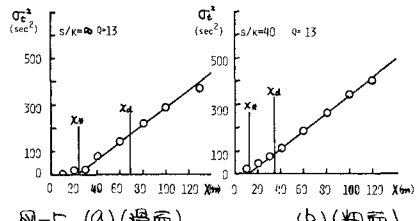


図-5. (a) (滑面) (b) (粗面)

$\sigma^2/U^2$ の流下方向変化

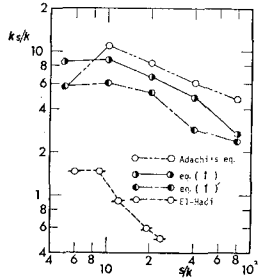


図-7.  $k_s/k$ と $S/k$ の関係

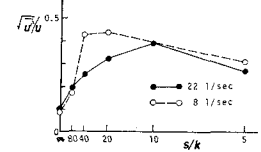


図-2.  $\sqrt{\sigma^2}/U$ と $S/k$ の関係

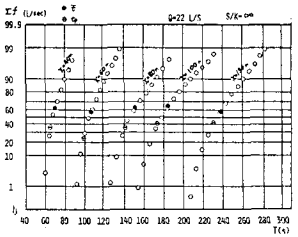


図-3(a) 塩分濃度の累加分布(滑面)

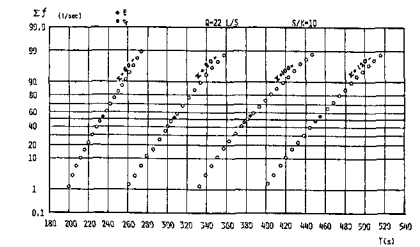


図-3(b) 塩分濃度の累加分布(粗面)

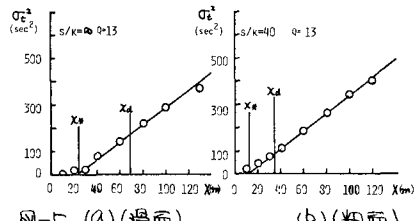


図-5. (a) (滑面) (b) (粗面)

$\sigma^2/U^2$ の流下方向変化

づき、指数は-0.71~-0.58の範囲であった。このように粗面では滑面に比して Gauss 分布に早く漸近する。

4. 移流域の長さと分散係数：移流域の長さとして図-5(a)(b)に示すように分散域の流下方向変化から  $\lambda_x$  および  $\lambda_d$  を求め、これを移流速度で割った  $t_d$  および  $t_x$  について Fischer の定義による Lagrangian time scale  $t_L = l^2/4.8E_y = 0.30l^2/RU_x$  ( $l=B/2$ ) (3) と比較した。

$t_x/t_L$  および  $t_d/t_L$  と  $\lambda_k$  の関係と  $\lambda_k$  の関係をそれぞれ図-6および図-7に示す。滑面では  $t_x/t_L = 2.1 \sim 3.3$  (平均値 2.8),  $t_d/t_L = 6.2 \sim 9.4$  (平均値 7.4) であり、粗面では  $t_x/t_L = 3.0 \sim 8.2$  (平均値 5.6),  $t_d/t_L = 8.2 \sim 27$  (平均値 16) であって、粗面では滑面より  $t_x/t_L$  および  $t_d/t_L$  が増加し、 $\lambda_k = 10 \sim 20$  付近で最大となる。なお、 $\lambda_x$  および  $\lambda_d$  の値は、滑面では  $\lambda_x = 22 \sim 43m$ ,  $\lambda_d = 56 \sim 72m$ , 粗面では  $\lambda_x = 6 \sim 20m$ ,  $\lambda_d = 15 \sim 54m$  であって、粗面では移流域の長さが増える。このため、分散域に達するには  $\lambda_d = 15m$  ( $\lambda_d/B = 25$ ) 以上の距離が必要であって、従来の実験の多くは移流域で行われていたと考えられる。

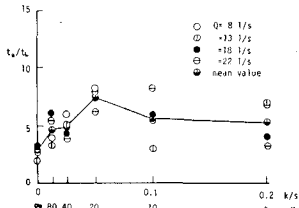


図-6.  $t_x/t_L$  と  $\lambda_k$  の関係

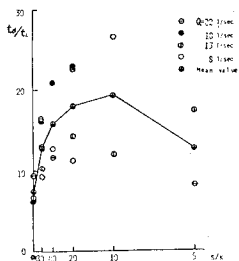


図-7.  $t_d/t_L$  と  $\lambda_k$  の関係

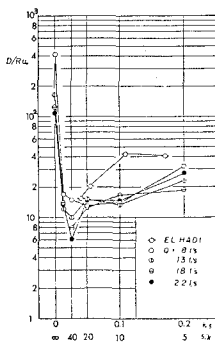


図-8.  $D/RU_x$  と  $\lambda_k$  の関係

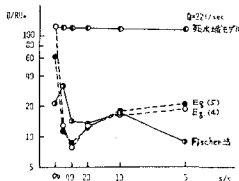


図-9.  $D/RU_x$  と  $\lambda_k$  の関係

つぎに、分散係数をモーンコト法およびピーク濃度の低減の関係から求め、Fischer および死水域モデルによる推定値と比較した結果について述べる。図-8は分散係数  $D$  と図-5(a)(b)の  $x > \lambda_d$  の領域について  $D = \frac{U^3 d t_x^2}{2 \lambda_x}$  (4) の関係から求め、 $D/RU_x$  の  $\lambda_k$  による変化を検討したもので、El-Hadi が Routing 法を求めたものを比較のため示してある。どちらも同じような傾向をもち、今回の実験では  $\lambda_k = 40$  で最小の値をとった。ピーク濃度の低減は遅れ時間  $t_d$  と考えると  $t_d$  のケースで  $f_p \propto (t_d - t_x)^{-0.5}$  となり、 $D = U^3/4f_p^2(t_d - t_x)$  (5) の関係から分散係数が求まる。以上の各方法で求めた  $D/RU_x$  を図-9に示す。Fischer の方法は死水域モデルより実験値に近い値を与えている。一方、 $D = U^3 t_L$  と (3) 式より  $E_y = kRU_x$  の定数  $k$  を求めると、滑面では  $k = 0.14$ , 粗面では  $k = 0.16 \sim 0.34$  となり、本実験では粗度による貯留および  $U^2$  の増大効果よりも  $E_y$  の増大効果が大きいために分散係数が減少していていると考えられる。

5. 縦分散の相似律と河川模型への適用性：分散係数の相似律について Fischer-Holley<sup>3)</sup>、玉井<sup>4)</sup>の研究を参考として括めると次のようになる。i) モーンコト法： $\lambda_{Dm} = \lambda_x \lambda_h^{1/2}$  ii) Elder 表示： $\lambda_{D_E} = \lambda_x^2 \lambda_h^2$  iii) Fischer 表示： $\lambda_{D_F} = \lambda_x^2 \lambda_h$ 、流速分布に対数則を用いると  $\lambda_{D_F} = \lambda_x^2$  ( $\lambda$  はサイフックスで表した物理量の縮尺比)。また歪のない模型 ( $\lambda_h = \lambda_l$ ) では、 $\lambda_{Dm} = \lambda_{D_E} = \lambda_{D_F} = \lambda_{D_F} = \lambda_x^2$  となる。一例として  $\lambda_h = 10^{-2}$  の場合の  $\lambda_D$  と  $\lambda_x$  の関係を図-10に示す。一方、Manning の粗度係数の縮尺比は歪模型  $\lambda_n = \lambda_x^{-1/2} \lambda_h^{2/3}$ 、歪なし模型  $\lambda_n = \lambda_x^{-1/2}$  であり  $\lambda_D = \lambda_n^2$  となる。したがって、 $\lambda_x < \lambda_n^{2/3}$  のとき  $\lambda_m > 1$ ,  $\lambda_D < 1$  とする必要があるが本実験の粗度特性はこの条件に適用する可能性を示している。なお、本実験水路と歪なし模型 ( $\lambda_h = 10^{-2}$ ) と考えて、 $m$ ,  $D$  の実験値を奥河川 ( $B = 60m$ ) に換算すると  $m = 0.0259 \sim 0.0926$  (m-sec 単位),  $D = 2.6 \times 10^5 \sim 2.3 \times 10^6$  (cm<sup>2</sup>/sec) となる。

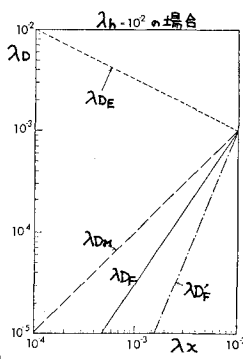


図-10.  $\lambda_D$  と  $\lambda_x$  の関係

今後、底面および側壁粗度による  $E_y$ ,  $\lambda_d$ ,  $D$  の変化を明らかにするとともに、スケールの異なる水路における分散実験から相似律を検討するつもりである。

参考文献)

- 1) 足立昭平：土木学会論文集，104 (1964)
- 2) El-Hadi et al.: Proc ASCE vol. 102, HY4 (1976)
- 3) Fischer-Holley: Water Resour. Res. Vol. 7, No. 1 (1971)
- 4) 玉井信行：第18回水理講演会論文集 (1974)